

鳥取大学工学部 ○勝見 雅
京都大学研究生 西原 晃

1. 緒言

鉛直アース・アンカーの引抜き抵抗に関しては従来から数多くの研究がなされているが、傾斜アース・アンカーの引抜き抵抗に関する研究は傾斜アース・アンカーの応用範囲が広いにもかかわらず数少ない。しかし、傾斜アース・アンカーの引抜き抵抗に関する研究は多く知られておりものにHarveyら¹⁾とMayerhof²⁾の研究がある。著者らも数年来、鉛直アンカーの引抜き抵抗に関する研究と平行して傾斜アース・アンカーも取り扱ってきたが、今回著者らは模型砂地盤を用いて傾斜アース・アンカーの引抜き実験を行ない、この実験結果をもとに2つの引抜き抵抗力算定式を提案した。1つはより簡単な算定式で引抜き抵抗力の大まかな推測を行なうという観点から、鉛直アース・アンカーの引抜き抵抗力算定式の1つである土すい体重量法の考え方を傾斜アース・アンカーに適用したもので、他の1つは模型実験の結果をもとに以前著者らが提案した鉛直アース・アンカーの引抜き抵抗力算定式³⁾を傾斜アース・アンカーに適用したものである。さらにこれらの算定式によつて計算した結果と実験結果とを比較し検討を加えたので、これらの概要を記述する。

2. 傾斜アース・アンカーの引抜き抵抗力算定式の提案

(1) 土すい体重量法の適用 鉛直アース・アンカーの引抜き抵抗算定式の1つである土すい体重量法の考え方を傾斜アース・アンカーの引抜き抵抗力の算定に拡張する。 V_a をアンカー柱体部の地中埋設部分の体積、 W_a : アンカー基礎自重とすることにより、傾斜アンカーの引抜き抵抗力 R_e は図-1の記号を用いて次式となる。

$$R_e = \pi B^2 D F(\alpha, \psi, \lambda) - V_a r \cos \psi + W_a \cos \psi \quad (1)$$

$$\text{ここで } \lambda = \frac{D}{2B} F(\alpha, \psi, \lambda) = \left\{ \frac{(z/\cos \psi + 1/\tan \lambda)^3 \cos \psi}{(1 - 0.25 \sin \psi / \tan \lambda - 0.5 \sin \psi)^2 \tan \lambda} - 1 \right\} \frac{\cos \psi}{6 \lambda}$$

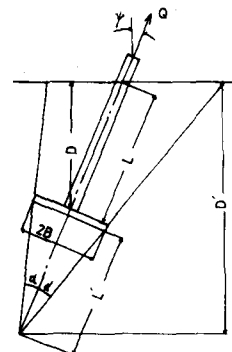


図-1 鉛直断面図

(2) Kotter の式を用いた方法 著者らは以前に、鉛直アンカーの引抜き抵抗力算定式を導く際に際し、円弧すべり面を仮定し、そのすべり面にKotterの式を適用した算定式が実験結果とよく対応を示すことを述べたことがある。³⁾ここではその考え方を傾斜アンカーに適用した算定式を説明する。

すべり面の決定および土壤重量の算定 すべり線は以前仮定した鉛直アース・アンカーのすべり線³⁾と同様、床板端に垂直に始まり地表面と $\pi/4 - \phi/2$ の角度で交わる円弧と仮定する(図-2)。すべり面と地表面の交線は長円であり、アンカー軸を中心とし長軸方向から時計方向に角 η をとる。いす回-3に示すように微小角 $d\beta$ に対する土壤を考えれば、求めようとする土壤は図中Oabb'a'O' でありその体積を dV_1 とする。また Oabb'a'O', O'abc' の体積をそれぞれ dV_1 , dV_2 とすれば、

$$dV_1 = \int_{\frac{\pi}{4}-\eta}^{\frac{\pi}{4}} \frac{1}{2} l^2 d\beta r \sin(\alpha + \eta) d\alpha \quad (2)$$

$$dV_2 = \frac{1}{6} l^3 \cos^3 \eta \sin \eta d\beta \quad \text{ここで } \eta = \tan^{-1}(\cos \beta \cdot \tan \psi) \quad (3)$$

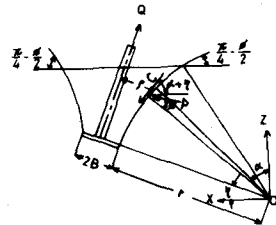


図-2 すべり線

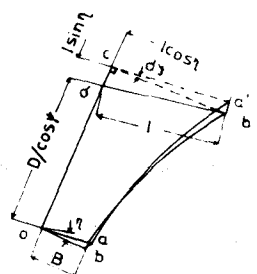


図-3 破壊土壤の微小要素

したがって、土壤重量による引抜き抵抗力 R_1 は、

$$R_1 = r \cos \psi \left\{ 2 \int_0^{\pi} (dV_r - dV_z) - V_a \right\} \quad (4)$$

すべり面上に作用するせん断抵抗合応力と粘着力による引抜き抵抗力の算定 図-2に示したすべり面上に作用するせん断抵抗合応力を用いてすべり線上に沿う Kotter の式を書けば、いま考えている平面が鉛直面とすく角を ψ とし、同図のように座標をとることにより、つきの式(5)で表わされる。

$$\frac{\partial P}{\partial x} + z(p \tan \phi + \frac{c}{\cos \phi}) = rr' \cos \omega \sin(\alpha + \phi) \quad (5)$$

$\alpha = (\pi/4 - \psi/2)$ で $p = C + 3$ 境界条件のもとに式(5)を解き、そのアンカー軸方向成分 P_a を求め、さらにすべり面上に作用する粘着力 C の軸方向成分 $C_a = C \sin(\gamma + \alpha)$ を求め、 P_a と C_a の和を全すべり面にわたって積分することにより、せん断抵抗合応力と粘着力による引抜き抵抗力 R_2 が得られる。

式(4)の R_1 とこの R_2 を求めるに際しての積分は数値積分によらなければならぬ。本研究では、3 サイクルまで 180 分割して Simpson 法による数値積分を行ない、その結果をつきのように整理した。

$$R_s (\equiv R_1 + R_2) = \pi B D r \left\{ F_1(\psi, \phi, \lambda) + \frac{2C}{Bn} F_2(\psi, \phi, \lambda) + F_3(\psi, \phi, \lambda) \right\} \quad (6)$$

ここに係数 F_1 , F_2 , F_3 はそれぞれ土塊重量、粘着力、せん断抵抗合応力に関する係数であり、それらの値を簡単に求めるために計算図表を作成した。以上の結果を用いて傾斜アンカーの引抜き抵抗力 R_k は Wa をアンカー基礎の自重として次式で与えられる。

$$R_k = R_s + Wa \quad (7)$$

3. 算定式による計算結果と実験結果の比較検討

Kotter の式を用いて導いた算定式(7)によつて計算した結果 R_k と実験結果の対応を図-4 に示す。同図によれば、傾斜角が 45° のとき若干大きめに算出されるようであるが、全体として計算結果と実験結果はよい対応を示していふ。図-5 には比較する意味で、土すくい体重量法を適用した算定式(1)による結果を示してあるが、算定式(7)に比べて計算結果と実験結果との間に多少ばらつきがみられ、また傾斜角が 45° の場合はかなり危険側に算出されている。なお、これらの詳細は講演時に述べるとともに模型実験の概要について(文獻3)を参照されたい。

参考文献

- 1) Harrey, R.C. and Bunley, E; Behavior of Shallow Inclined Anchors in Cohesionless Sand, *Ground Engineering*, pp.48~55.
- 2) Mayerhof, G.G.; Uplift Resistance of Inclined Anchors and Piles, pp. 167~171.
- 3) 勝見雅・西原晃; 鉛直アンカーの引抜き抵抗力算定式の改良, 第13回土質工学研究発表会発表講演集, 昭. 53. 6.

図-4 計算値と実験値の比較

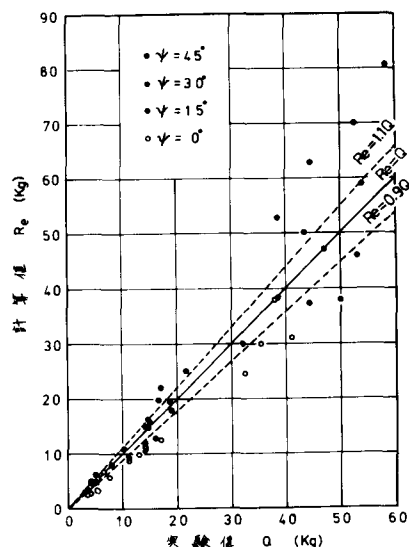


図-5 計算値と実験値の比較